

## ОДНО-И ДВУХЦЕНТРОВЫЕ ПРОЦЕССЫ В НЕУПРУГИХ ВЗАИМОДЕЙСТВИЯХ ПРИ ЭНЕРГИИ ВЫШЕ 100 Гэв

*Н.Н. Ройнишвили, Н.Г. Таталашвили*

В работе [1] предложен метод разделения высокоэнергичных взаимодействий с множественной генерацией частиц на центральные и периферические.

Метод этот основан на анализе переданных четырехимпульсов между группами частиц во взаимодействии. В работах [2,3], в которых применялся этот метод, при расчете величин переданных четырехимпульсов между группами частиц –  $\Delta_i^2$ , в индивидуальном событии вторичные частицы располагались либо по возрастанию угла, либо по убыванию их импульсов в лабораторной системе. В отличие от указанных работ мы использовали этот метод при новом способе расположения вторичных частиц, а именно: для каждой частицы в ливне расчитывался переданный четырехимпульс  $t_i^2$  от первичной частицы к ней

$$t_i^2 = (P_o - P_i)^2 , \quad (1)$$

где  $P_o$  и  $P_i$  – четырехимпульсы первичной и  $j$ -й частицы. Очевидно, что  $t_{j \min}^2$  должно соответствовать переданному четырехимпульсу между падающей и рассеянной первичной.

Частицы нумеровались в порядке возрастания  $t_i^2$ . Затем, как обычно, мы считали величины  $\Delta_i^2$  и по форме зависимости  $\Delta_i^2$  от  $i$  выделяли, одноцентровые и двухцентровые события.

Таким образом, было обработано ядерных взаимодействий космических частиц со средней энергией  $E_0 = 400 \text{ ГэВ}$  с полиэтиленовой мишенью, зарегистрированных на установке Цхра-Цкаро [4].

В группу одноцентровых попало 9 ливней, к группе двухцентровых было отнесено 15 ливней. Из нижеследующего будет видно, что особенности одно- и двухцентровых событий хорошо описываются моделью файерболов, поэтому в дальнейшем будем называть их одно- и двухфайербольными. В таблице приведены характеристики одно- и двухфайербольных случаев.

	$N$	$E_0$	$\bar{n}_s$	$\bar{\epsilon}_{si}$	$\bar{\gamma}$	$\bar{\sigma}$	$\bar{P}_\perp$	$\bar{K}$	$\bar{\epsilon}_i^*$	$M_\Phi$
Сдюфайер- больные	9	288	8,30	0,52	1,00	0,34	0,37	0,35	0,52	6,50
Двухфайер- больные	15	453	15,50	0,60	1,12	0,47	0,37	0,33	0,53	6,30

где  $N$  – число ливней в данной группе;  $E_0$  – энергия взаимодействия;  $n_s$  – множественность заряженных частиц;  $\bar{\epsilon}_{si}$  – средняя энергия частицы в системе покоя заряженных вторичных ( $S$ -система);  $\bar{\gamma}$  – средний Лоренц-фактор каждого из двух файерболов относительно  $S$ -системы;  $\sigma$  – дисперсия в распределении величины  $\lg \tan \theta$ ;  $\bar{P}_\perp$  – поперечный импульс;  $K$  – коэффициент передачи;  $\bar{\epsilon}_{is}^*$  – средняя энергия частицы в системе покоя файербола;  $M_\Phi$  – масса файербала с учетом нейтральных частиц.

Интересными особенностями таблицы являются:

1. Средняя множественность двухфайербольных событий примерно в два раза больше средней множественности однофайербольных  $\bar{n}_s^{(1)} = 1/2 \bar{n}_s^{(2)}$ . Такое соотношение между средней множественностью для однофайербольных и двухфайербольных случаев, зарегистрированных на одной установке, впервые получено нами. В работе [5] приводится значение средней множественности при рождении одного файербала  $n_s = 8 \pm 0,5$ , а из работ [6, 7] следует, что для двухфайербольных случаев средняя множественность, приходящаяся на один файербол  $\sim (5 - 10)$  частиц.

2. Средняя энергия частицы в системе покоя файербала  $\bar{\epsilon}_{si}$  – для одноцентровых и  $\bar{\epsilon}_i^*$  – для двухцентровых примерно равны друг другу  $\bar{\epsilon}_{si} = (0,52 \pm 0,08 \text{ ГэВ})$ ;  $\bar{\epsilon}_i^* = 0,53 \pm 0,40 \text{ ГэВ}$ . Такое же значение для  $\bar{\epsilon}_{is}$  получено в работах [3, 5].

3. Массы файерболов в обеих группах также практически равны

$$M_\Phi^{(1)} = 6,5 \pm 1 \text{ ГэВ}/c^2, \quad M_\Phi^{(2)} = 6,3 \pm 0,7 \text{ ГэВ}/c^2$$

что, впрочем, является следствием (1) и (2).

4. Очень существенным является наблюдаемый факт, — ливни с большей множественностью имеют большую анизотропию.

5. На рис. 1 представлена зависимость массы файербола  $M_\Phi$  от  $n_s^\pm$  — числа заряженных частиц в одном файерболе.

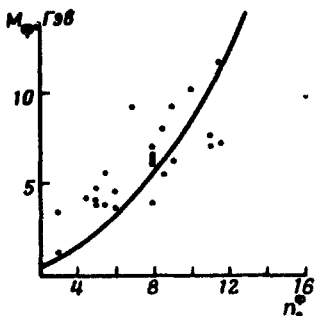


Рис. 1. Зависимость массы файербола от множественности заряженных вторичных частиц

Рис. 1 не противоречит представлению о статистической природе распада файербола, при которой среднее число вторичных частиц, пропорционально корню квадратному из массы файербола. Сплошная кривая — расчет по эмпирической формуле

$$n_s^\pm = 3,44 (M_\Phi - 0,2)^{1/2},$$

которая достаточно хорошо описывает экспериментальные точки.

Все эти особенности хорошо укладываются в рамки модели файерболов и трудно объяснимы с какой-либо другой точки зрения.

К настоящему времени создана периферическая теория файерболов [8] и сравнение экспериментальных результатов с ее предсказаниями представляет особый интерес.

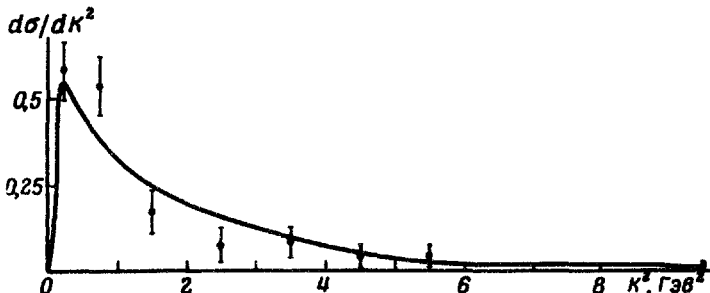


Рис. 2. Распределение по  $K^2$  — сплошная кривая предсказание теории файерболов

1) Предварительная статистическая обработка нашего материала показала, что число случаев с образованием одного файербола с 10-процентной точностью равно числу 2-х файербольных случаев. Такая оценка вероятности генерации различного числа файерболов при энергии 400 ГэВ хорошо согласуется с предсказанием теории файерболов.

2) а. Распределение по квадратам переданных четырехимпульсов между нуклонами и файерболами для однофайербольных случаев и между нуклонами и файерболами, а также между двумя файерболами для двухфайербольных случаев  $\Delta_i \min = K^2$ , предсказываемое теорией, хорошо согласуется с нашим экспериментальным распределением (рис. 2).

б. Теоретические расчеты указывают на то, что  $K^2$  практически не зависит от полной энергии и имеет максимум в распределении при  $K^2 = 0,5 \text{ Гэв}^2$ . Однако среднее значение его несколько больше и равно  $1,2 \text{ Гэв}^2$ . Наши данные дают наиболее вероятное значение  $K^2 = 0,5 \text{ Гэв}^2$ , а среднее  $\bar{K}^2 = 1,7 \text{ Гэв}^2$ .

3) Значение массы файербола, полученное в нашей работе хорошо согласуется с данными Тянь-Шаньской и польской групп [3, 6, 7] и в принципе не расходится с теоретическим значением, которое пока определено лишь при асимптотически высоких энергиях.

Как видно из вышесказанного наши экспериментальные данные хорошо согласуются как с предсказаниями файербольной модели, основанной на кинематических особенностях, так и с предсказаниями теории файерболов.

Однако, только соответствующие теоретические расчеты либо моделирование событий методом случайных испытаний смогут решить вопрос связанный с существованием файерболов.

Институт физики  
Академии наук Грузинской ССР

Поступила в редакцию  
8 октября 1971 г.

## Литература

- [1] В.Н. Акимов, И.М. Дремин. Препринт ФИАН, 1966.
- [2] И.М. Дремин, Г.Б. Жданов, И.М. Третьякова, М.М. Черновский.  
Письма в ЖЭТФ, 4, 152, 1966.
- [3] Н.Г. Зелевинская, А.М. Лебедев, С.А. Славатинский. Материалы московской конференции, 1970.
- [4] Э.Л. Андronикашвили, Л.И. Гаривашвили и др. Сб. Ядерные взаимодействия при высоких энергиях. Изд. "Мецниереба", Тбилиси, 88, 1969.
- [5] С.А. Славатинский. Труды ФИАН, 46, 40, 1970.
- [6] I. Gierula, M. Miesowicz. Nuovo Cim., 8, 116, 1958.
- [7] I. Gierula, M. Miesowicz. Nuovo Cim., 18, N 1, 1960.
- [8] И.М. Дремин, И.И. Ройзен, Д.С. Яернавский. УФН, 101, 385, 1970.